

大阪府立大学農学部 ○正員 葛上 史, 学生員 永井啓一, 正員 中谷三男

われわれは土の基本的性質の一つである“比表面”(S.S.; m^2/g)を土の工学的性質の指標として取上げ、細粒土の物理的および力学的性質との関連性を実験してきた。また、土粒子表面上の「水のあり方および性質」を土の工学性との関係において把握するために“水膜厚さ”(d ; Å)という量を取り上げた。工学的に対象となる細粒土の土中水を水膜厚さに換算すると、その値は意外に小さく、大半は吸着水の範囲に入れることができる。一方、土中水の吸着および離脱挙動を解明するために“熱測定”を取り入れた。熱測定によると、土に水が吸着される時に発生する熱量を測定することで吸着の強弱や反応速度などを知ることができ。次に、われわれは静的彌固め装置(最大荷重の圧力; 1000kg/cm², 真空装置)を作製し、それを利用して彌固の供試土を作製した。この装置の利用により、含水量と間け半径の2要因試験が可能となった。以上述べてきたように、比表面、水膜厚さ、吸着挙動および間け半径の4要因を軸として、細粒土の工学的性質の発現機構を解明しようとしたのが本研究である。

1. 細粒土の分類に対する比表面の効用について
比表面は土の基本的性質の一つであるとともに地盤工学として通続的表示ができるので“土の分類に対して良い指標”であると考えられる。比表面の大小と粒度分布の間には全く相関性が認められず、細粒土の粒度分析の難しさを示す。ところで、比表面表示の一つの弱点は粒度分布を知ることができないことである。そこで、粉体の測定に良く用いられてくる遠心力場における粒度分布を図-1に示す。重力場の粒度分析による結果と全く違った粒径加積曲線になる。粒度分析法には分散の問題、粒子形状の沈降速度への影響、微細粒子に見られるブラウン運動による沈降阻害などの多くの問題点をかかえてくるが、細粒土の粒度分布を知るために遠心力場における粒度分析法を取り入れるべきだと考えられる。

2. 流・塑性限界と比表面の関係

液性限界と比表面の間にには膨潤性土を除くと、正の一次関係がある。膨潤性土を含む土にあっても、その含有量を考慮して層間膨潤に要する水分量を差引くことにより普通土と同じ取扱いが可能となった。一方、塑性限界と比表面の間には膨潤性土の有無にかかわらず正の相関が認められた。

3. 彌固の特性に対する比表面と水膜厚さの影響

突固めによる土の彌固の試験方法 A 1210-1970において、最適含水量、最大乾燥密度と土の種類の関係も比表面および水膜厚さによってうまく説明することができる。図-2に比表面と最適含水量(水膜厚さ表示)の関係を示す。泥炭と火山灰土である洞爺湖土、立川土などを除けば、最適含水量の水膜厚さは比表面が小さくなるほど大きくなる。これはある一定外力のもとで、粒状体である土が最もよく彌まるために必要な条件として、水膜厚さが異なるものと考えられる。すなわち、比表面が小さくなれば、単位容積中の土粒子数が減少して一箇点当たりの垂直応力が増加する。土が“よく彌まるためにはせん断抵抗力が小さくなるければならない”。そこで、潤滑剤としての役割が

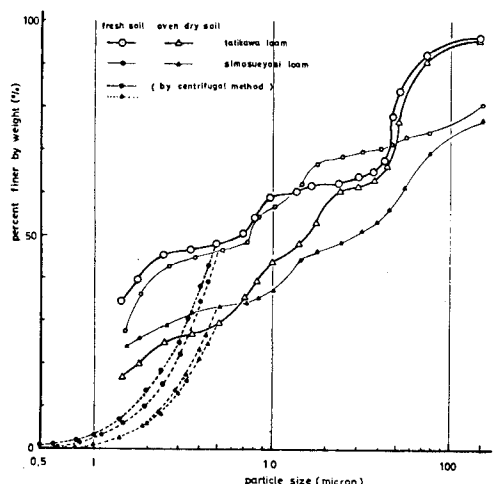


図-1 遠心力場における粒度分布

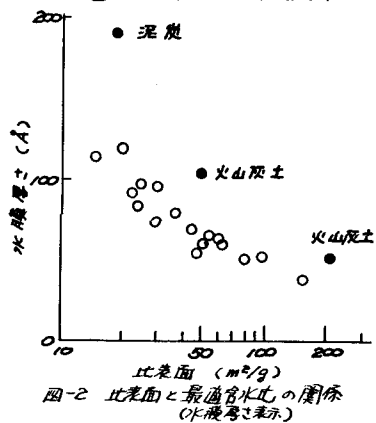


図-2 比表面と最適含水量の関係
(水膜厚さ表示)

水に要求され、水膜厚さが大きくなると考えられる。比表面の大きな土についても同様な説明ができるが、水が“多くなると水自身の密接が土の密度増加を阻害するので水膜厚さが“小さく”と考えられる。

4. 应力-ヒズミ特性について

は実験によると土の構造の試験方法による

まず、比表面の大小について

検討する。試料②(水膜厚さ 50 \AA 、比表面 $20\text{ m}^2/\text{g}$)を除けば、比表面の小さい土程、応力-ヒズミ曲線は曲率が小さくなる。同じ水膜厚さの供試体群において、粒子接点のせん断抵抗係数が同じであるとするとき、比表面が大きくなる程曲率が大きくなり、一軸圧縮強さも小さくなるのは、構造について考察したのと同じ理由によると考えられる。

5. 粘着定数について

図-4に側差応力と水膜厚さ

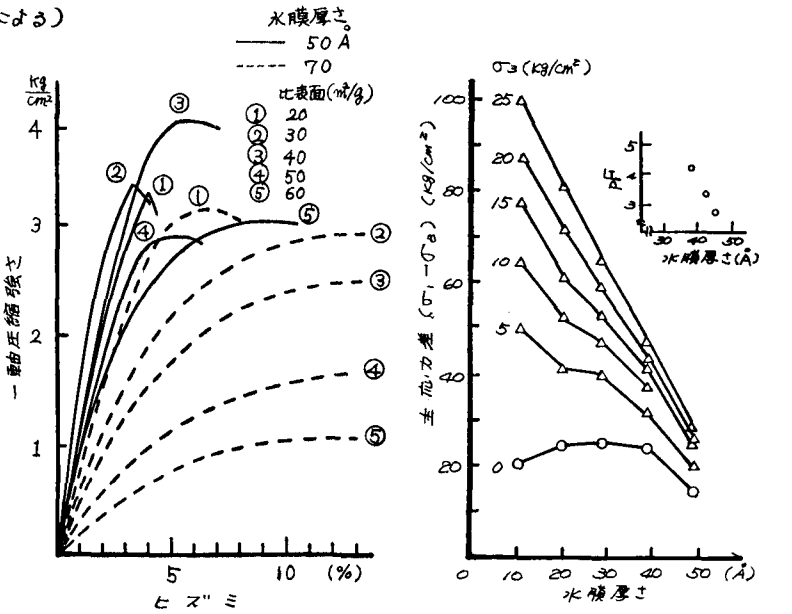


図-3 応力-ヒズミ曲線

の関係を示す。側圧が 0 、すなわち一軸圧縮強さは水膜厚さが $30\sim40\text{ \AA}$ でピークを示し、それより水膜厚さが“小さくなつてもそれ程強度低下は示さない”が、水膜厚さが“大きくなると強度低下が著しい”。このことから、吸着水の粘着性は $30\sim40\text{ \AA}$ の厚さで“最大”になると考えられ、土は水分の少ない状態から順次、固体状、半固体状、塑性体状と変化していくと考えられることと良く符合する。付図は ρF と残留水分の関係である。一般に拘束水と定義されていふ $\rho F=4.2$ の水膜厚さは 37 \AA である。一軸圧縮強さが $\rho F=4.2$ で保持される水膜厚さで“最大”になると“いうことは非常に興味深い事実である。側圧が 15 kg/cm^2 まででは吸着水の性質が側差応力に関係しているが、 $\rho F=4.2$ すなわち側圧が 16 kg/cm^2 以上ではプロットは直線関係を示し、吸着水の性質が“現れて”いる。これは $30\sim40\text{ \AA}$ の水膜として保持していた吸着水の性質が 16 kg/cm^2 を境にして変化したためと考えられる。

6. 热測定の結果について

热測定試験によると、炉乾土を水中に浸すと同時に吸着熱を発生し、土粒子と水の界面現象はいわゆる一次反応であることがわかった。表-1に見られるように、固-気反応は固-液反応によって吸着挙動が大きく異なることがわかる。固-液反応においては吸着平衡時間は数分であるが、固-気反応では $2000\sim3000$ 分を要している。このような吸着挙動の相違から、土粒子の表面および土の内部の構造を類推することが可能であると考えられる。

さらに、特殊土の一つである関東ロームの水分子層の特殊性は熱測定試験と ρF 試験結果から、生土(自然含水量の土)の含水量を減じることによつて、関東ロームの土粒子が集合化することに起因すると考えられる。

試料	比表面積 (m^2/g)	速度定数(分)		初期時間 (分)
		液相 $\times 10^3$	気相 $\times 10^3$	
カオリン	6	15.0	1.1	100 ⁴
泥炭	20	9.8	2.0	200 ^{4.5}
農場土	29	15.2	1.3	3000 ⁵
洞爺湖土	44.5	9.5	0.95	2000 ⁵
乗山土	50	9.7	4.2	2000 ⁵
岩見沢土	51	10.1	1.1	600 ⁵
竜土	62	8.8	11.9	2000 ⁵
島大土	96.5	8.7	4.0	3000 ⁵
活性白土	220	7.4	3.1	1000 ⁵
ベントナイト	64	10.1	1.5	2000 ⁵

表-1 热測定結果